

с 345е

e+✓

Заболотин В. П. и др.

2036/82



Б2-9-82-45

ОБЪЕДИНЕНИЙ ИНСТИТУТ ЯДЕРНЫХ ИССЛЕДОВАНИЙ

Б2-9-82-45

ДЕПОНИРОВАННАЯ ПУБЛИКАЦИЯ

Дубна 1982

Объединенный институт ядерных исследований

Лаборатория высоких энергий

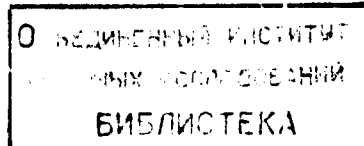
52-9-82-45

В.П.Заболотин, А.С.Исаев, В.Н.Перфееев, С.В.Федуков,  
Д.И.Шерстянов, И.Н.Яловой

Распределение показателя неоднородности магнитного  
поля в магните синхрофазotronа ОИЯИ.

Рукопись № 100  
дата написания  
21. 01. 82.

Дубна, 1981.



## I. Цель работы.

Устойчивость движения частиц в синхрофазotronе определяется показателем неоднородности магнитного поля  $\eta$ . При некоторых значениях  $\eta$  устойчивость движения может нарушаться. Это явление связано с наличием резонансов, которые могут привести к сильной раскачке колебаний и потерям частиц на стенках камеры ускорителя.

Для синхрофазотрона ОИЯИ значение  $\eta$  выбрано в интервале  $0,55 < \eta < 0,75$  /1,2/, который снизу ограничен резонансом  $\nu_r = \nu_z$  при  $\eta = 0,5$ , а сверху – резонансом  $\nu_r = \nu_2$  при  $\eta = 0,79$ , где  $\nu_r$  и  $\nu_z$  – частоты радиальных и вертикальных колебаний. Внутри интервала также имеются резонансные значения, и особенно опасным является резонанс  $\nu_r = \frac{2}{3}$  при  $\eta = 0,625$ .

Рабочее значение  $\eta$  следует выбирать на достаточно большом удалении от опасных резонансов и поддерживать выбранное значение во всех точках зазора магнита, где в процессе ускорения могут оказаться частицы. Поэтому в рабочей области ускорителя  $\eta$  и поддерживается постоянным.

При нелинейной зависимости магнитного поля от координат бетатронные колебания при достаточно больших амплитудах могут стать неустойчивыми и вдали от резонансов /3/. Это положение наглядно подтвердилось на синхрофазотроне в 1978 г. после устранения малопротяженных искажений, вносимых в  $\eta$  вихревыми токами, развивающимися в медных шинах обмоток резонансного вывода ускоренного пучка /4/.

В связи с заниженным захватом пучка в режим ускорения и повышенными потерями его при ускорении в 1974-77 г.г. были исследованы характеристики магнитного поля синхрофазотрона.

В данной работе представлены результаты исследований распределения показателя неоднородности магнитного поля  $\eta$  на полях 230±550 Гс /5/ и 9±12 кГс и магнитного поля по радиусу вне рабочей области ускорителя на поле 11,5 кГс. Для этого измерено распределение  $\eta$  по радиусу в области  $r = R_o \pm 65$  см:  
– на поле 230 Гс на 90 полюсах магнита (из 184) в плоскости  $Z_o$ .

с шагом 10 см и на четырех полюсах в плоскостях  $\pi$  и  $\pi \pm 8$  см с шагом 5 см;

- на полях 160, 230, 310, 390 и 550 Гс на шести полюсах;
- на полях 9; 10; II; II,6; II,8; I2; I2,2 кГс на четырех полюсах.

## 2. Методика и точность измерений.

Показатель неоднородности магнитного поля  $n$  измерялся с помощью двух катушек и баллистического гальванометра. Длина катушек равна длине полюса в азимутальном направлении. Катушки жестко соединены, расстояние между их осями 5 см. Постоянные катушек (произведение числа витков на площадь в  $\text{см}^2$ ) одинаковы с точностью 0,05 %. При включении катушек встречно измеряется величина разности полей  $\Delta H$  на расстоянии 5 см, а при отключении одной из катушек — величина поля  $H$ .  $\Delta H$  измеряется дважды: при втором измерении катушки меняются местами поворотом на  $180^\circ$  вокруг вертикальной оси для уменьшения ошибки измерений. Гальванометр отключается от измерительной схемы специальным устройством в момент подачи импульса от цифрового компаратора магнитного поля ускорителя. Шаг измерения  $n$  при радиальных перемещениях был принят 5 см на четырех полюсах в плоскостях  $\pi$  и  $\pi \pm 8$  см с целью выяснения наличия малопротяженных (менее 10 см) искажений в распределении  $n$  по радиусу. После установления их отсутствия измерения проводились с шагом 10 см. Ошибка в измерении  $n$  определяется как

$$\frac{\delta n}{n} = \frac{\tilde{\delta} \frac{\Delta H}{H}}{\Delta H} + \frac{\tilde{\delta} \Delta' C}{C}$$

где

$$\frac{\tilde{\delta} \frac{\Delta H}{H}}{\Delta H} = \frac{\delta_{\Delta d_{cp}}}{d_{cp}} + \frac{\delta_{c_{kp}}}{d_{kp}} + \frac{\delta K}{K}$$

$d_{cp}$  — показания гальванометра, соответствующие  $\Delta H$ ,

$d_{kp}$  — показания гальванометра, соответствующие  $H$ ,

$K$  — коэффициент шунтировки гальванометра.

$$\frac{\delta \Delta \alpha_{cp}}{\alpha_{cp}} = \pm 0,2\%; \quad \frac{\delta \alpha_{cp}}{\alpha_{cp}} = \pm 0,17\%; \quad \frac{\delta K}{K} = \pm 1,2\%;$$
$$\frac{\delta \Delta n}{n} = \pm 0,35\%.$$

Стабильность отключения гальванометра от измерительной схемы  $\pm 0,1\%$ .

Таким образом,  $\frac{\delta n}{n} = \pm 1,9\%$

На трех полюсах магнита, в 43-х точках, разными операторами и в разное время дважды измерялось значение  $n$ . Повторяемость измерений оказалась не хуже  $\pm 0,005$ .

### 3. Результаты исследований.

В таблице № I приведены поправка  $\Delta n_0$  в показатель неоднородности магнитного поля  $n$  от остаточного поля при токах в цикле размагничивания  $I_p = 340, 500$  и  $800$  А и поправка  $\Delta n_3$  от искажений, вносимых материалом измерительных электродов, установленных на восьми полюсах магнита.

В таблице № 2 и рис. I приведено распределение по радиусу значений показателя неоднородности магнитного поля, усредненных по 90 полюсам магнита с учетом поправок  $\Delta n_0$  при  $I_p = 800$  А,  $\Delta n_3$  ( $n = n_4 + \Delta n_0 + \Delta n_3$ ) и без учета этих поправок ( $n_4$ ).

Результаты измерений  $n_4$  показали, что на одинаковых радиусах различных полюсов магнита значения  $n$  значительно отличаются. Разница доходит до 0,09, а на краях рабочей области и более.

В таблице № 3 и рис. 2 показана разность ( $\Delta n$ ) в распределении по радиусу усредненных значений  $n$  на квадрантах относительно значений  $n$ , усредненных по кольцу магнита.

Асимметрия в  $n$  незначительна, но есть области, в которых целесообразно ее скорректировать ( $r = R_0 + 20$  см на I и II квадрантах и  $r = R_0 - 20$  см на каждом из четырех квадрантов).

В таблице № 3 также приведены результаты измерений  $\Delta n$  на  $H = 310, 430$  и  $550$  Гс относительно  $H = 230$  Гс, усредненные по шести полюсам. Из этих данных и рис.3 видно, что с ростом поля происходит незначительное уменьшение  $n$ , которое начинается с  $r = R_o - 40$  см. Это необходимо учитывать при выборе закона роста величины тока в обмотках коррекции  $n$  с ростом величины  $H$  в зазоре магнита синхрофазотрона.

Так как область искажения  $n$  в радиальном направлении может быть меньше  $10$  см, то на пяти полюсах магнита проведены измерения с шагом  $5$  см. А чтобы выяснить, появляются ли дополнительные искажения в  $n$ , в плоскостях отличных от  $Z_o$ , измерено распределение по радиусу  $n$  в плоскостях  $Z_o$  и  $Z_o \pm 8$  см на четырех полюсах III и IV квадрантов также с шагом  $5$  см. В этих квадрантах отсутствовали широкие медные шины обмотки вывода пучка, которые вносили искажения в  $n$  из-за развивающихся в них вихревых токов большой величины. Результаты тех и других измерений приведены в таблице № 4 и на рис.4. Из них видно, что уменьшение шага измерений до  $5$  см не обнаружило дополнительных искажений в  $n$  в плоскости  $Z_o$  и  $Z_o + 8$  см. В плоскости же  $Z_o - 8$  см зарегистрированы искажения в среднем  $+0,03$  на  $r = R_o + 45$  см и  $-0,03$  на  $r = R_o - 55$  см и  $-0,03$  на  $r = R_o + 55$  см и  $+0,03$  на  $r = R_o - 45$  см. Они вызваны вихревыми токами, индуцированными в рельсах, расположенных у поверхности нижних полюсов на  $r = R \pm 50$  см.

В таблице № 5 и на рис.5 приведено распределение  $n$  по радиусу на полях  $230, 310$  и  $550$  Гс при  $I_p = 340, 500$  и  $800$  А до корректирования и после до уровня  $|n| = 0,65$ .

В таблице № 6 приводятся сведения о геометрии расположения корректирующих проводников и величинах токов в них.

Чтобы избежать потерь пучка при наведении его на мишени, нужно знать ширину рабочей области камеры, где расположить мишени. С этой целью на четырех полюсах магнита было измерено распределение  $n$  по радиусу на полях  $H = 9,0 ; 10,0 ; 11,0 ; 11,6 ; 11,8 ; 12,0 ; 12,2$  кГс. Усредненные значения представлены в таблице № 7 и на рис.6. Отсюда видно, что ширина рабочей области с ростом поля выше  $9$  кГс заметно уменьшается. Как было сказано выше,

подведение пучка к резонансному значению  $\mu$  опасно для его существования. Действительно, на поле 13 кГс при подведении пучка к мишени, установленной на  $r = R_0 - 10$  см, теряется более 50 % ускоренных частиц, и не менее 30 % частиц теряется при подведении их к мишени на  $r = R_0 + 20$  см. Увеличение размера рабочей области на больших полях может быть достигнуто, если для корректирования  $\mu$  будут уложены шины на радиусах  $r = R_0 \pm 25$  см, а длительность площадки в кривой тока коррекции составит 400–500 мс, что соответствует длительности требуемой "растяжки" пучка.

Укладка шин и создание системы питания корректирующей обмотки для больших значений поля представляет трудности. Целесообразнее подбирать азимут положения мишеней так, чтобы они располагались в рабочей области значений  $\mu$ .

При выводе и транспортировке пучка к экспериментальным установкам необходимо знать распределение магнитного поля по трассе пучка. Оно было замерено вне рабочей области камеры ускорителя на поле  $H = 11,5$  кГс. Результаты измерений показаны в таблице № 8.

#### Выходы.

1. Распределения по радиусу показателя неоднородности магнитного поля  $\mu$  на отдельных полюсах существенно отличаются друг от друга, однако значения  $\mu$ , усредненные по квадрантам, совпадают с точностью измерений с усредненными значениями по кольцу магнита на всех радиусах, за исключением незначительной разницы на радиусах  $r = R_0 \pm 20$  см.

2. Распределения  $\mu$  по радиусу в плоскостях  $Z_c$  и  $Z_c \pm 8$  см совпадают с точностью измерений. Уменьшение шага измерений по радиусу с 10 см до 5 см показало, что в этих плоскостях в  $\mu$  не наблюдаются малопротяженные искажения, за исключением искажений на радиусах  $r = R_0 \pm 45$  см и  $r = R_0 \pm 55$  см в плоскости  $Z_c$  и особенно в плоскости  $Z_c - 8$  см. Эти искажения вносятся вихревыми токами, развивающимися в рельсах из углкового дуралюминия размером  $\Delta r \times \Delta z = 3$  см  $\times$  3 см, уложенных у поверхности нижних полюсов.

3. Результаты работы дают достаточно полную картину распределения показателя неоднородности магнитного поля  $n$  и позволяют предложить рекомендации по его корректированию до  $n_{opt} = 0,65$ .

Лучшими вариантами корректирования  $n$  на малых полях являются величины токов в цикле размагничивания  $I_p = 340$  или  $500$  А и в корректирующих проводниках, указанных в таблице № 5.

4. В связи с резким сокращением рабочей области по радиусу в диапазоне полей  $H = II \div I2$  кГс и отсутствием специальной системы ее расширения, для предотвращения больших потерь пучка при его наведении на мишени необходимо подбирать азимут положения мишеней такой, чтобы они находились в рабочей области

$$R_o + 15 \text{ см} > r > R_o - 7 \text{ см.}$$

#### Литература.

1. М.Д.Веселов и др. Доклады на Всесоюзной конференции по физике частиц высоких энергий, 14-22 мая 1956 г., стр.154, изд.АН СССР, отделение физ.мат.наук, Москва, 1956.
2. Е.Г.Комар. Ускорители заряженных частиц. Атомиздат, Москва, 1964.
3. В.А.Коломенский, П.Н.Лебедев. Теория циклических ускорителей, ГИФМЛ, Москва, 1962.
4. Ю.Д.Безногих и др. ОИЯИ, Б2-9-10141, Дубна, 1976.
5. Ю.Д.Безногих и др. ОИЯИ, Б2-9-9203, Дубна, 1975.

Таблица № 1.

$\Delta n_s = f_1(\tau)$  относительно  $\mu_L = 0,65$  на  $H = 230$  Гс при токе в цикле размагничивания  
 $I_p = 800$  А (усреднение по 30 полюсам) и  $I_p = 500$  и 340 А (усреднение по восемь полюсам).  
 $\Delta n_s = f_2(\tau)$  относительно  $\mu = 0,65$ .  $H = 230$  Гс.

$I_p$ (A)	$\tau_{cm}$	-60	-50	-40	-30	-20	-10	$R_s$	+10	+20	+30	+40	+50	+60
800	+0,01	+0,015	+0,015	+0,011	+0,005	+0,005	-0,005	-0,005	-0,01	-0,01	-0,01	-0,015	-0,015	-0,01
500	+0,04	+0,045	+0,035	+0,025	+0,015	+0,01	-0,01	-0,015	-0,02	-0,025	-0,03	-0,035	-0,035	-0,04
340	+0,055	+0,05	+0,045	+0,035	+0,025	-0,015	-0,015	-0,02	-0,025	-0,035	-0,04	-0,045	-0,045	-0,05
$\Delta n_s$	+0,02	+0,015	+0,005	0	+0,005	0	0	0	-0,005	0	-0,005	-0,015	-0,015	-0,02

Таблица № 6.

Радиусы проводников обмоток коррекции и величины токов в них.

$I_p$ (A)	$\tau$ провод. (см)	-61	-43,5	-12,5	+12,5	+33,5	+43,5	+53,5
340	+0,5	+1,0	-0,5	-0,5	-1,0	0	-1,0	-1,0
500	+0,5	+0,75	0	-0,75	-1,0	-0,5	-1,0	-1,0

" + " ток в проводнике по направлению пучка.

$$n_s = f_1(\tau), n = n + \Delta n_o + \Delta n_e = f_2(\tau) \cdot H = 230 \text{ Гс}, z_o, I_p = 800 \text{ А.}$$

$\tau$ (см)	I	II	III	IV	поляризация	V	VI	VII	VIII	IX	по кольцу
$n_s = n_s + \Delta n_o + \Delta n_e = f_2(\tau)$											
+65	0,72	0,725	0,71	0,715	0,72	0,68	0,685	0,67	0,675	0,675	0,68
+60	0,745	0,75	0,74	0,73	0,74	0,715	0,72	0,71	0,70	0,71	0,71
+55	0,755	0,76	0,76	0,745	0,755	0,725	0,73	0,73	0,71	0,71	0,725
+50	0,745	0,75	0,75	0,725	0,74	0,725	0,73	0,735	0,705	0,705	0,725
+45	0,74	0,745	0,75	0,725	0,74	0,72	0,72	0,71	0,71	0,71	0,71
+40	0,73	0,71	0,72	0,71	0,72	0,70	0,70	0,71	0,70	0,70	0,705
+30	0,72	0,68	0,70	0,705	0,70	0,705	0,665	0,685	0,69	0,69	0,685
+20	0,705	0,68	0,69	0,69	0,70	0,695	0,70	0,675	0,685	0,685	0,685
+10	0,695	0,68	0,68	0,685	0,69	0,675	0,675	0,675	0,675	0,675	0,685
$R_e$	0,685	0,68	0,68	0,685	0,69	0,675	0,675	0,675	0,675	0,675	0,685
-10	0,665	0,66	0,65	0,655	0,66	0,65	0,65	0,66	0,66	0,66	0,66
-20	0,67	0,665	0,635	0,615	0,625	0,64	0,645	0,645	0,645	0,645	0,66
-30	0,63	0,635	0,625	0,615	0,625	0,65	0,65	0,65	0,65	0,65	0,635
-40	0,60	0,60	0,59	0,59	0,595	0,62	0,615	0,615	0,615	0,615	0,615
-50	0,585	0,58	0,575	0,58	0,58	0,615	0,615	0,615	0,615	0,615	0,615
-60	0,59	0,585	0,58	0,58	0,585	0,62	0,62	0,61	0,61	0,61	0,615
-65	0,59	0,59	0,58	0,58	0,585	0,63	0,63	0,62	0,62	0,62	0,625

Таблица № 3.

$\Delta n = n_{\text{квадр.}} - n_{\text{кольца}} = f_1(\gamma)$ .  $H = 230 \text{ Гс}$   
 $\Delta n = f_2(\gamma)$  на различных полях относительно  $H = 230 \text{ Гс}$ .

$\gamma_{\text{CM}}$	+60	+50	+40	+30	+20	+10	$R_o$	-10	-20	-30	-40	-50	-60
KF. H.													
I	+0,005	0	0	+0,01	+0,02	+0,01	0	0	+0,02	0	0	0	0
II	+0,01	0	0	-0,01	-0,02	-0,01	0	0	+0,02	+0,01	0	0	0
III	0	0	+0,01	0	0	0	-0,01	-0,02	0	0	0	0	0
IV	-0,01	-0,02	-0,02	-0,01	0	0	0	-0,02	-0,02	0	0	0	0
310 Гс	-0,02	-0,02	-0,01	-0,01	-0,01	0	0	0	-0,02	-0,01	0	0	0
430 Гс	-0,03	-0,03	-0,02	-0,02	-0,02	-0,01	-0,01	-0,01	-0,01	-0,01	0	0	0
550 Гс	-0,04	-0,04	-0,03	-0,03	-0,02	-0,02	-0,02	-0,01	-0,01	-0,01	+0,01	+0,01	+0,01

Таблица № 4.

$n_u = f_1(z)$ ,  $z_0$ ,  $z_0 \pm 8$  см и  $\Delta n_u = f_2(z)$  - разность  $n_u$  пл.  $z_0$  и  $z_0 - 8$  см относительно  $z_0 + 8$  см.  $H = 230$  Гс.  
среднение по четырем полюсам III и IV квадрантов магнита.

$z$ см $L$ см	$n_u$			$\Delta n_u$	
	$z_0 + 8$ см	$z_0$	$z_0 - 8$ см	A *	B *
+65	0,72	0,72	0,725	0	+0,005
+60	0,75	0,74	0,745	-0,01	-0,005
+55	0,755	0,74	0,725	-0,015	-0,03
+50	0,75	0,75	0,75	0	0
+45	0,74	0,745	0,77	+0,005	+0,03
+40	0,72	0,725	0,725	+0,005	+0,005
+35	0,715	0,71	0,715	-0,005	0
+30	0,71	0,71	0,71	0	0
+25	0,705	0,70	0,71	-0,005	+0,005
+20	0,70	0,705	0,705	+0,005	+0,005
+15	0,695	0,69	0,70	-0,005	+0,005
+10	0,69	0,69	0,695	0	+0,005
+5	0,70	0,685	0,69	-0,015	-0,01
$R_0$	0,675	0,675	0,68	0	+0,005
-5	0,66	0,66	0,66	0	0
-10	0,65	0,645	0,645	-0,005	-0,005
-15	0,635	0,635	0,635	0	0
-20	0,63	0,63	0,625	0	-0,005
-25	0,615	0,615	0,615	0	0
-30	0,60	0,61	0,60	+0,01	0
-35	0,59	0,60	0,59	+0,01	0
-40	0,59	0,59	0,58	0	-0,01
-45	0,58	0,575	0,55	-0,005	-0,03
-50	0,57	0,57	0,57	0	0
-55	0,56	0,57	0,60	+0,01	+0,04
-60	0,57	0,58	0,585	+0,01	+0,015
-65	0,585	0,59	0,57	+0,005	-0,015

$$A = n_{z_0} - n_{z_0+8} \quad B = n_{z_0-8} - n_{z_0+8}$$

Таблица № 5.

 $n_2 = f(\tau)$  до и после корректирования до уровня  $n_2 = 0,65$ .

$I_p$ (A)	$H$ (Гц)	$\tau$ (см)						$R_o$	+10	+20	+30	+40	+50	+60
		-60	-50	-40	-30	-20	-10							
340	230	0,66	0,65	0,65	0,66	0,68	0,67	0,67	0,67	0,68	0,69	0,69	0,69	0,67
	230*	0,67	0,67	0,67	0,67	0,67	0,66	0,66	0,66	0,66	0,66	0,66	0,66	0,65
	310	0,64	0,63	0,64	0,65	0,67	0,67	0,67	0,67	0,68	0,69	0,69	0,69	0,66
	550	0,63	0,62	0,62	0,63	0,65	0,65	0,66	0,67	0,68	0,69	0,69	0,69	0,67
	550*	0,64	0,64	0,64	0,64	0,64	0,64	0,66	0,66	0,66	0,66	0,66	0,66	0,66
	230	0,65	0,64	0,64	0,65	0,67	0,67	0,68	0,68	0,68	0,69	0,70	0,70	0,68
500	230*	0,66	0,66	0,66	0,66	0,67	0,67	0,67	0,66	0,66	0,66	0,66	0,66	0,66
	310	0,63	0,63	0,63	0,63	0,64	0,64	0,66	0,67	0,68	0,69	0,70	0,70	0,67
	550	0,62	0,62	0,62	0,63	0,63	0,64	0,65	0,66	0,67	0,68	0,69	0,70	0,68
	550*	0,63	0,63	0,64	0,64	0,65	0,65	0,66	0,66	0,66	0,66	0,67	0,67	0,67
	230	0,62	0,61	0,62	0,63	0,66	0,67	0,68	0,69	0,69	0,71	0,72	0,73	0,71
	310	0,61	0,60	0,61	0,62	0,65	0,66	0,68	0,68	0,68	0,70	0,71	0,71	0,69
800	550	0,61	0,60	0,61	0,62	0,64	0,65	0,67	0,67	0,68	0,69	0,70	0,71	0,69

\* — после корректирования.

Таблица № 7.

$n = f(\tau)$  на различных полях.  $\Xi_0$ , усреднение по четырем полосам.

$\tau$ (см) H кГс	-60	-50	-40	-30	-20	-10	$R_c$	+10	+20	+30	+40	+50	+60
9,0	0,45	0,54	0,58	0,61	0,63	0,65	0,66	0,67	0,68	0,70	0,72	0,76	0,85
10,0	0,39	0,50	0,56	0,60	0,62	0,64	0,66	0,68	0,70	0,72	0,75	0,81	0,92
11,0	0,44	0,52	0,57	0,61	0,64	0,67	0,69	0,71	0,73	0,75	0,80	0,90	
11,6	0,38	0,48	0,55	0,60	0,63	0,66	0,69	0,73	0,78	0,85	0,98		
11,8	0,35	0,45	0,53	0,59	0,62	0,66	0,70	0,74	0,79	0,87	1,00		
12,0	0,31	0,43	0,51	0,57	0,62	0,66	0,70	0,75	0,81	0,86	1,03		
12,2	0,22	0,36	0,46	0,54	0,61	0,66	0,71	0,76	0,83	0,93	1,10		

Таблица № 8.

$H = f_1(\tau)$  Паз между полюсами № 22 и 23.  $H = II,5$  кГс.  $H = f_2(\tau)$  на азимуте : срез крайней стойки магнитопровода + 5 см в сторону промежутка между II и III квадрантами. В центре полюса № 48 II квадранта  $H = II,5$  кГс.

Паз между полюсами					срез стойки + 5 см к про- межутку				
	$H_i$ (Гс)	$\frac{H_i}{H}$	%	(см)	$H_i$ (Гс)	$\frac{H_i}{H_{R_o}}$	$\tau$ (см)	$H_i$ (Гс)	$\frac{H_i}{II500}$
0	II500	I00		+230	96	0,8	$R_o + II5$	3020	26,3
0	II360	98,5		+240	52	0,45	+I20	2860	25,8
0	II300	98		+250	3I	0,3	+I25	2700	23,5
0	III50	96,5		+260	-3I	-0,3	+I30	2520	22,0
0	I0670	93		+270	-75	-0,65	+I40	2180	I9,0
00	94I0	8I,6		+280	-75	-0,65	+I50	I850	I6,I
I0	7500	65		-30	II580	I00,7	+I60	I530	I3,3
20	5850	5I		-50	II600	I0I	+I70	I250	I0,9
30	4500	39,2		-70	II620	I0I,2	+I80	935	8,2
40	3600	3I,4		-90	III50	97	+I90	675	5,9
50	2860	24,8		-I00	9920	86,5	+200	4I5	3,6
60	2550	I9,5		-II0	7770	67,5	+2I0	I45	I,3
70	I740	I5,I		-I20	5980	52	+220	-3I2	-2,7
80	I3I0	II,4		-I30	4670	40,5	+230	-453	-3,9
90	935	8,I		-I40	3720	32,4	+240	-495	-4,3
200	620	5,3		-I50	2980	26	серед. стойки	-I04	-0,9
2I0	370	3,2		-I60	2390	20,8	край стойки	-52	-0,45
220	203	I,8		-I70	I9I0	I6,5			

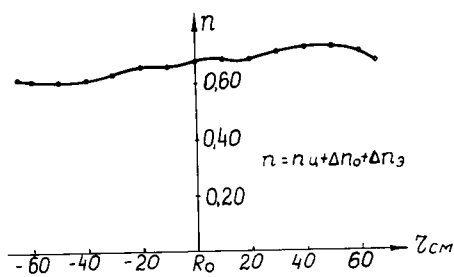


Рис.1.  $n=f(z)$  усредненное по кольцу магнита с учетом возмущений от остаточного поля и восьми измерительных электродов.  $H = 230$  Гс, плоскость  $z_0$ .

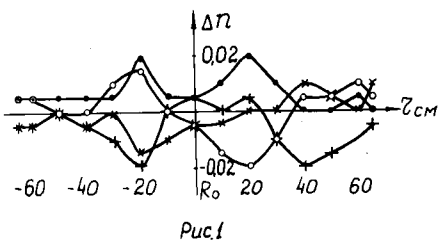


Рис.1

Рис.2.  $\Delta n=f(z)$  разность значений на кольце и квадрантах магнита.  $H=230$  Гс, плоскость  $z_0$ .

• — I квадрант      x — III квадрант  
 ○ — II квадрант      + — IV квадрант

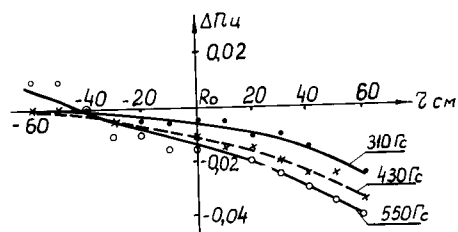


Рис.3.  $\Delta n=f(z)$  в плоскости  $z_0$  относительно  $H = 230$  Гс.

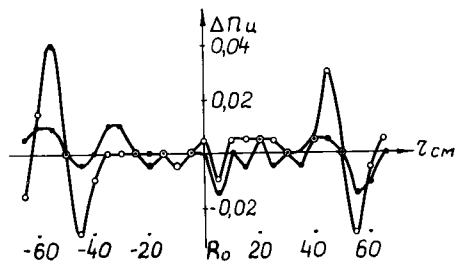


Рис.4.  $\Delta n=f(z)$  в плоскостях  $z_0$  и  $z_0 + 8$  см относительно плоскости  $z_0$ .  $H = 230$  Гс.

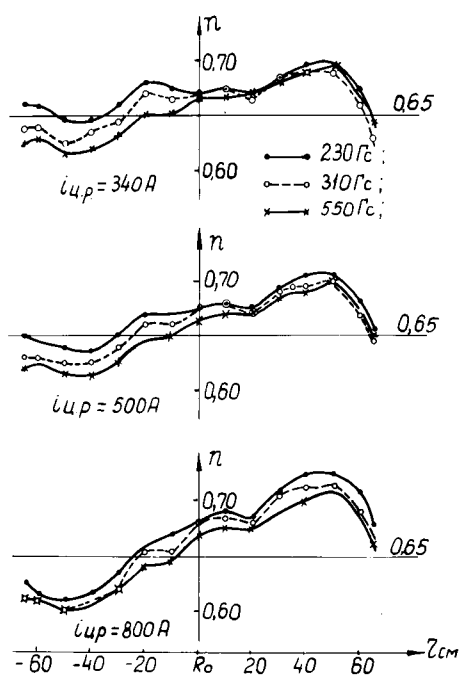


Рис.5.  $n=f(z)$  плоскость  $Z_0$ ,  $H = 230$  Гс, 310 и 550 Гс при токе в цикле размагничивания  $I_p = 340$ , 500 и 800 А.

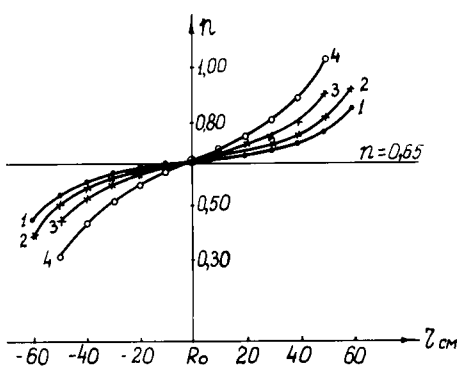


Рис.6.  $n=f(z)$  плоскость  $Z_0$ .

- 1 -  $H = 9,0$  кГс
- 2 -  $H = 10,0$  кГс
- 3 -  $H = 11,0$  кГс
- 4 -  $H = 12,0$  кГс